

# Решатель для динамической модели фильтрации в трещинах МГРП: обзор методов и выбор оптимального

Ильдар Абдулин

Уфимский государственный авиационный технический университет

## Введение

Целью данной главы является разработка инструмента, который прогнозирует дебит скважины, используя динамическую модель фильтрации жидкости с учетом геофизических особенностей пористой среды (сжимаемая порода в зоне, затронутой МГРП).

Основные задачи:

- Выбрать оптимальный решатель фильтрационной модели с приемлемыми точностью, быстродействием и сложностью реализации для рассматриваемой задачи проведя кросс-проверку исходя из скорости и точности;
- Реализовать оптимальный решатель с вычислением необходимых величин прогноза.

Основные методы решения дифференциальных уравнений в прикладных задачах разделяются на численные, аналитические и полуаналитические. Также, иногда модель можно упростить, чтобы воспользоваться более удобным методом решения.

Таким образом рассмотрим следующие методы решения уравнения модели:

- методы основанные на упрощении модели;
- аналитические и приближенные аналитические методы;
- численные методы с простой реализацией (явная конечно-разностная схема);
- численные методы со сложной реализацией (требующие решение СЛАУ): неявная конечно-разностная схема (КРС), метод конечных элементов (МКЭ) и т.д.

Критерии выбора инструмента:

1. Возможность применения;
2. Точность;
3. Быстродействие;
4. Простота реализации (возможность реализации на VBA).

Будем рассматривать методы в порядке от простых к сложным в реализации.

## Математическая модель и геометрия задачи

$$\frac{\partial p}{\partial t} - \operatorname{div}(\alpha(p) \operatorname{grad}(p)) = 0, \quad 0 < t \leq T, \quad \vec{l} < \vec{x} < \vec{L},$$

$p$  - давление жидкости,  $\alpha(p)$  - коэффициент пьезопроводности, зависящий от вязкости, пористости, проницаемости и плотности жидкости; постоянен в трещине и зоне незатронутой ГРП (ЗНГРП).

Начальные условия

$$p(0, \vec{x}) = P_0 \text{ вне скважины, } p = P_{\text{скв}} \text{ в окрестности скважины.}$$

краевые условия

$$\vec{n} \frac{k}{\mu} \text{grad}(p) = 0 \text{ на внешних границах ЗНГРП, } p = 0 \text{ в окрестности скважины.}$$

$$Q = \sum_i n_{\vec{n}_{\text{СКВ}}}^i S^i \frac{k}{\mu} \text{grad}(p),$$

где  $n_{\vec{n}_{\text{СКВ}}}^i$  — нормаль в направлении поверхности скважины с площадью равной  $S^i$ .

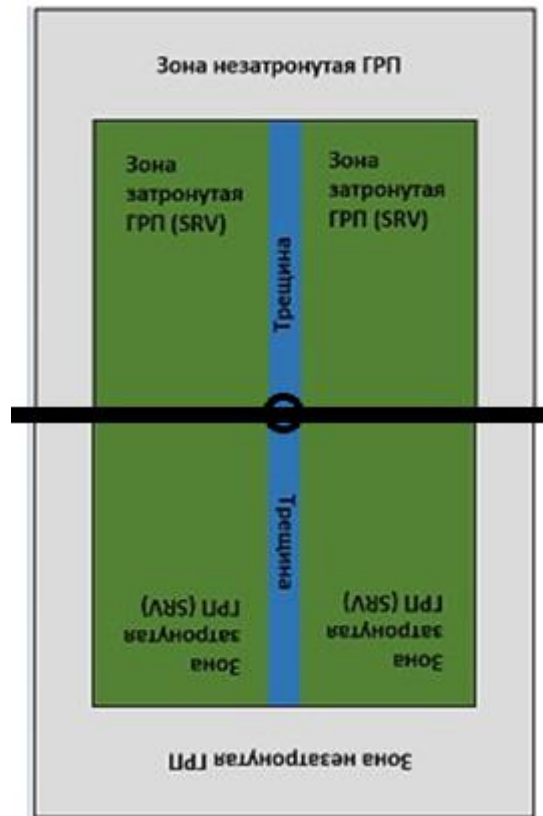


Рисунок 1 – Развитие трещины-сателлита

### Методы основанные на упрощении модели

**Метод 1. Упрощение  $p \approx p(x, t)$ .** В некоторых случаях можно рассматривать процесс одномерным. Так, в случае, если размер области по координате во много раз больше чем по другой, то процесс можно считать одномерным. В нашем случае размер области по координате  $x$  в десятки раз больше, чем по  $y$ . Поэтому в зонах затронутой и незатронутой ГРП можно считать процесс одномерным ( $p(x, y, t) \approx p(x, t)$ ). Однако при расчете течения через трещину жидкость фильтруется по оси  $y$ . Если же рассматривать внутри трещины  $p(x, y, t) \approx p(y, t)$ , то неясно как сшивать решения на границе трещины и SRV. Поэтому данное упрощение невозможно при текущей геометрии.

**Метод 2. Упрощение  $k(p) \approx k(x, y, t)$ .** Данное упрощение позволяет сильно упростить процессы получения аналитических и численных решений. Математическое обоснование возможности такого упрощения требует теоремы вида  $\underline{p}(x, t) < p(x, y, t) < \bar{p}(x, t)$  при  $\underline{k}(x, t) < k(p) < \bar{k}(x, t)$ , которые можно получить только для частных случаев. Поэтому модель с  $k = k(p)$  в общем случае нельзя заменить на модель с  $k = k(x, y, t)$ .

Таким образом, модель в текущей постановке является самой простой, рассматриваемые упрощения возможны только после ее реализации (как аппроксимации модели).

### **Аналитические и приближенные аналитические методы**

**Аналитические методы.** Данные методы являются точными, наиболее простыми в реализации и имеют самое высокое быстродействие. Однако получить их возможно только для специфичных нестационарных краевых условий, которые в нашем случае являются стационарными.

**Приближенные аналитические методы.** Приближенные аналитические методы - метод Фурье и любые другие методы с рядами. Проблема данных методов - низкая скорость сходимости и отсутствие универсальности по начально-краевым условиям. Так как задача обладает сложными геометрией и краевыми условиями, то данный метод не является проще по реализации, чем численные методы.

Таким образом, аналитические и полуаналитические методы не подходят по критерию возможности применения.

### **Численные методы с простой реализацией (явная КРС)**

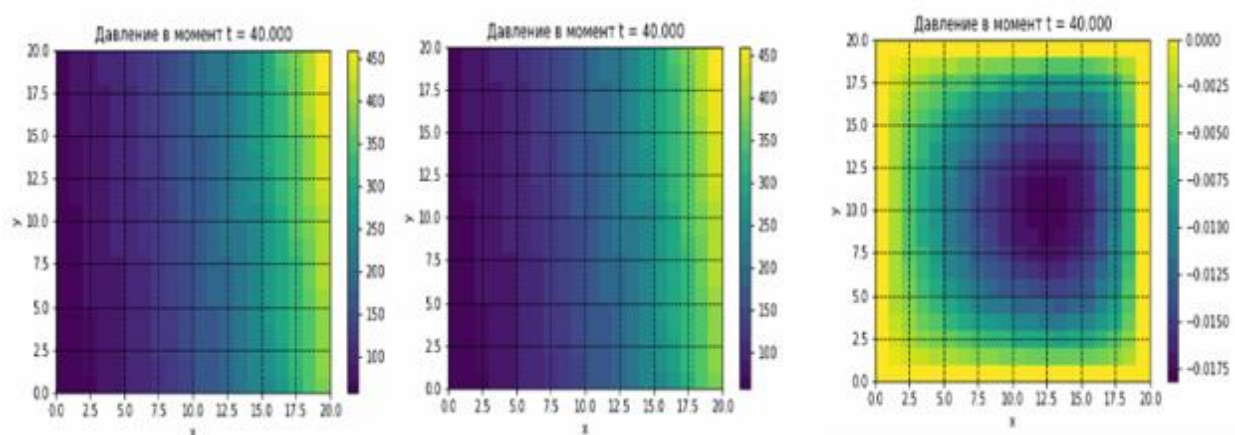


Рисунок 2 – Численный эксперимент

Главная проблема данного метода - это условная устойчивость, которая накладывает ограничение на шаг по времени при использовании решателя, что может привести к долгому расчету. Поэтому протестируем скорость расчета модели в зоне SRV при простых краевых условиях.

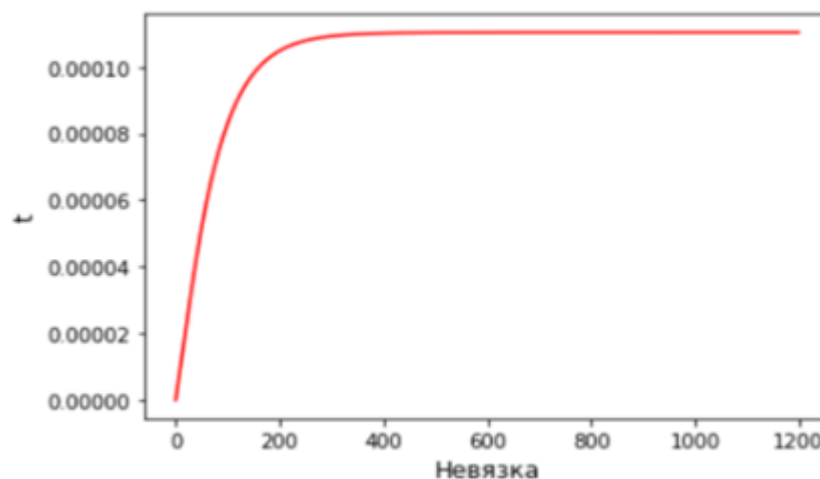


Рисунок 18 – График невязки

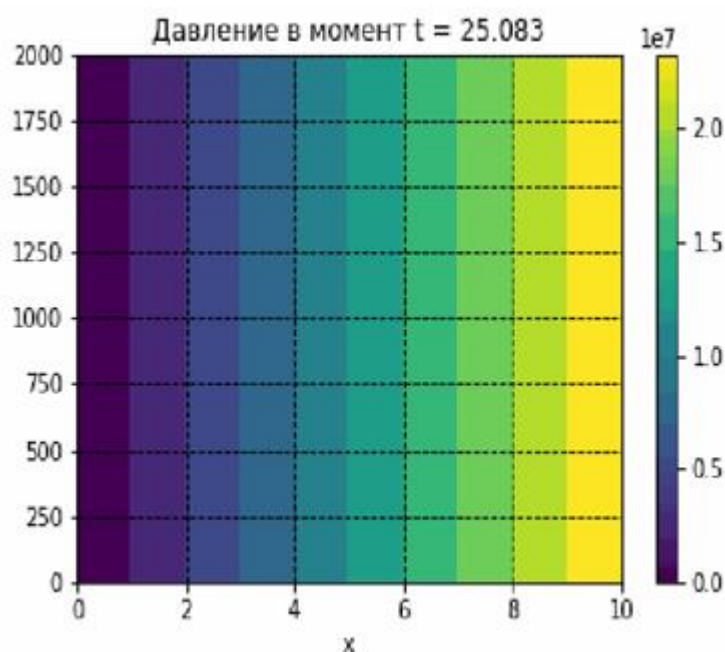


Рисунок 19 – Решение в зоне SVR с постоянной проницаемостью

Расчет для зоны SRV на 63 часа работы скважины занял 10 мин при 16ГБ RAM и Intel Core i7-4710MQ 3.5GHz. Таким образом расчет только в зоне SRV займет 20 часов. При этом шаг по времени в зоне трещины будет не менее чем в 100 тысяч раз меньше, что приведет к недопустимой скорости расчета модели.

Таким образом, ввиду низкой скорости расчета, явная КРС неприменима в зоне трещины, поэтому ее нельзя применить для рассматриваемой задачи.

#### **Численные методы со сложной реализацией (неявная КРС / МКЭ и т.д.)**

Главная проблема данного класса методов - очень сложная реализации в VBA ввиду отсутствия решателей СЛАУ. Однако у этих подходов нет недостатка предыдущего метода. Такие схемы, как правило, безусловно устойчивы, что дает возможность выбирать сетку по времени произвольно. Более того, они реализованы в множестве открытых библиотек Python. Методы конечных

элементов более популярны чем конечно-разностные схемы. Одной из наиболее популярных библиотек, которая использует методы конечных элементов, является библиотека FiPy.

**О библиотеке FiPy (<https://www.ctcms.nist.gov/fipy/>).**

Бесплатное и открытое ПО. Первый релиз в 2002 году, последнее обновление 15 июня 2022 года.

#### Тестовый расчет.

Уравнение

$$\frac{\partial p}{\partial t} - \text{div}(\alpha \text{grad}(p)) = 0, \alpha = 1.$$

Начальные условия

$$p(0, \vec{x}) = 10$$

Крезовые условия

$$p = 0 \text{ на левой грани, } p = 100 \text{ на остальных гранях.}$$

Размерность сетки 5x5, шаг по времени 1, конечное время 100.

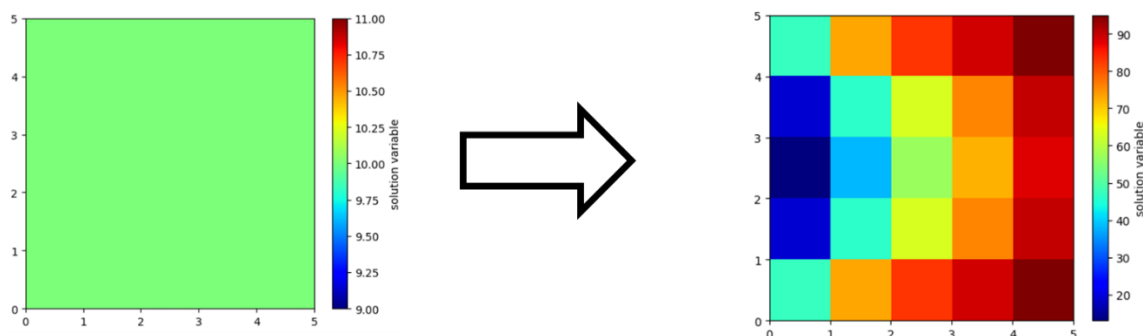


Рисунок 20 – Решение в зоне SVR с постоянной проницаемостью

Таким образом, простые расчеты библиотеки FiPy дают физически адекватный результат для уравнения модели. В отличие от явной КРС нет ограничений на шаг по времени.

#### Методы основанные на упрощении модели.

Обоснование того, что задача с нелинейной проницаемостью будет эквивалентна задаче с проницаемостью как функции от  $x$ ,  $t$ , требует оценки решения для уравнения с  $k=k(p)$  которые известны только для частных случаев. Поэтому модель с  $k=k(p)$  в общем случае нельзя заменить на модель с  $k=k(x, t)$ .

#### Аналитические и полуаналитические методы.

Точные и приближенные методы группового анализа дифференциальных уравнений, как правило, дают только частные автомодельные решения. Так как задача обладает сложной геометрией и в зависимости от краевых условий мы можем не получить в некоторых зонах аналитического решения.

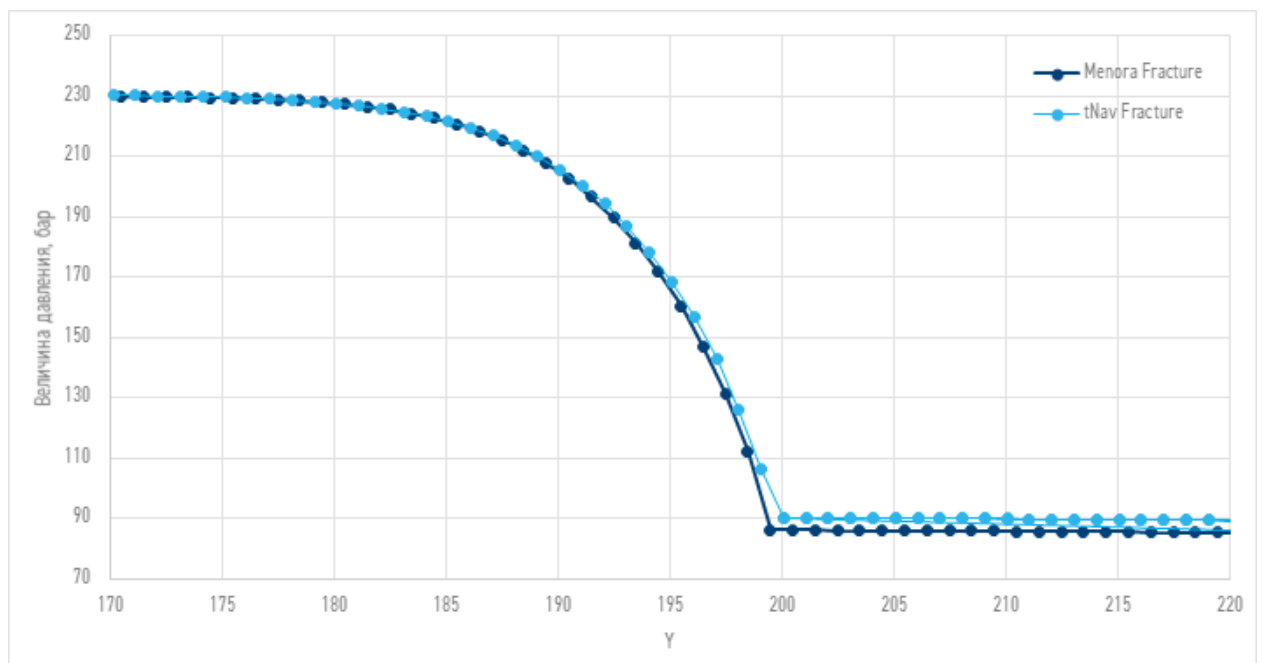
Приближенные аналитические методы, например, метод Фурье [7], также обладают своими недостатками. Проблемы данного класса методов - зачастую низкая скорость сходимости и

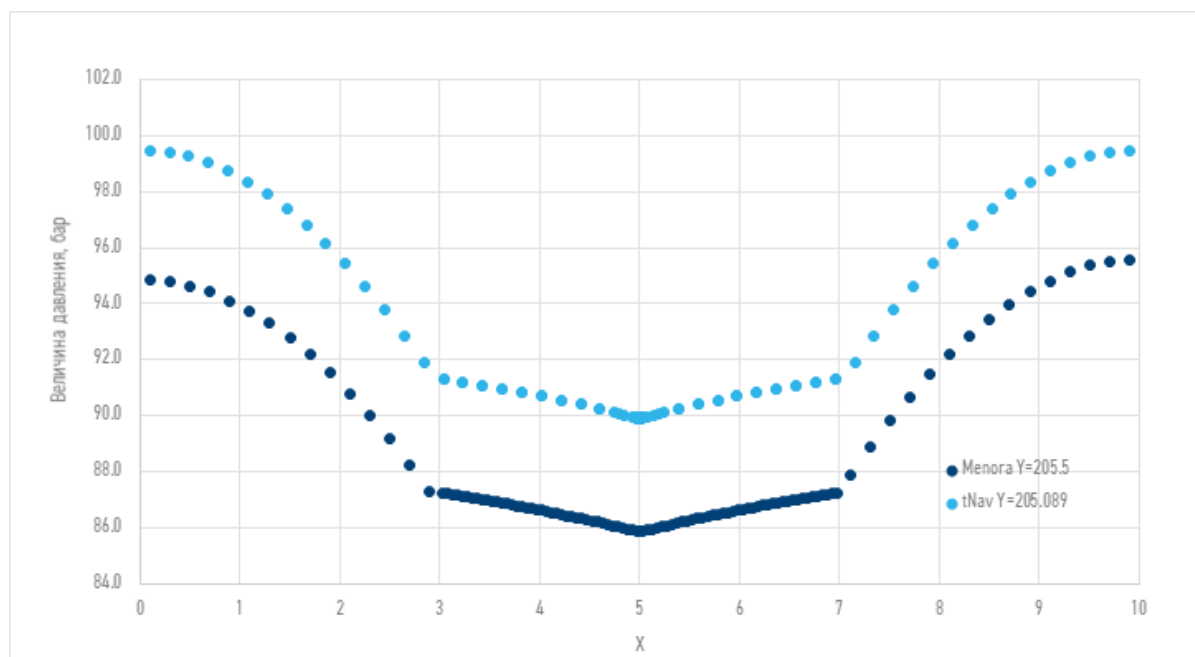
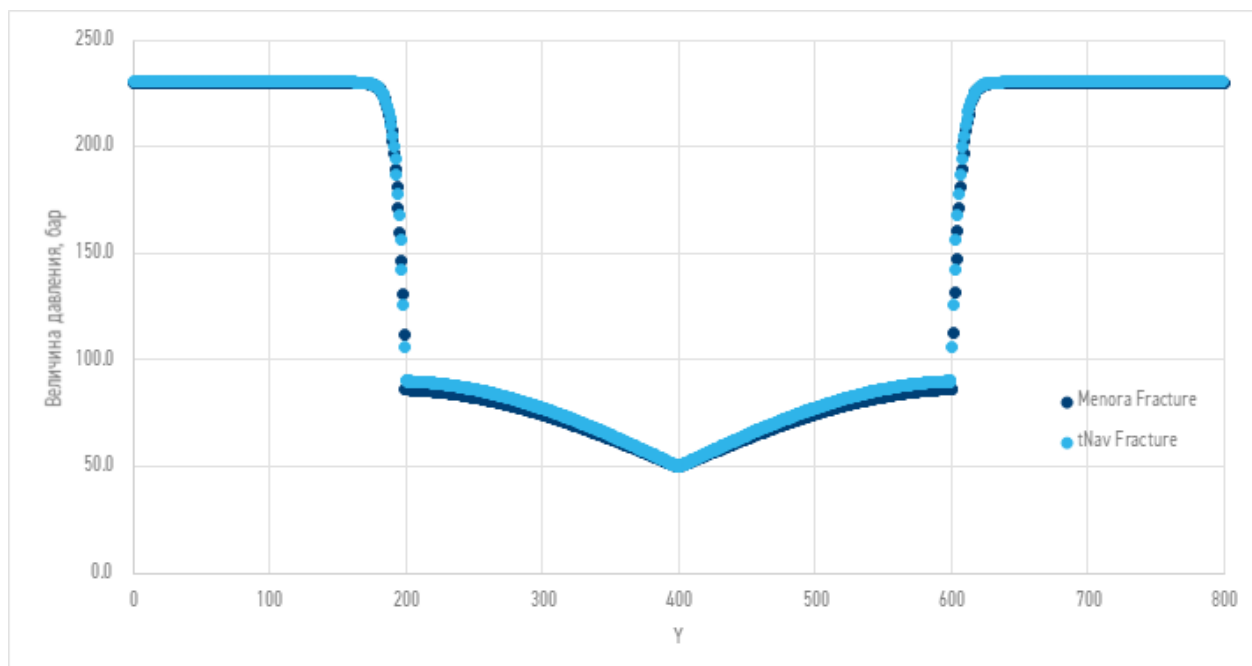
необходимость разложения в ряды всех входящих в модель функций, что повышает вычислительную сложность модели.

#### Численные методы с простой реализацией: явная КРС.

Расчет для зоны SRV на 63 часа работы скважины занял 10 мин при 16ГБ RAM и Intel Core i7-4710MQ 3.5GHz. Проблемы с измельчением сетки. Есть перспективы использовать для упрощения реализации модели в зонах SRV и матрицы.

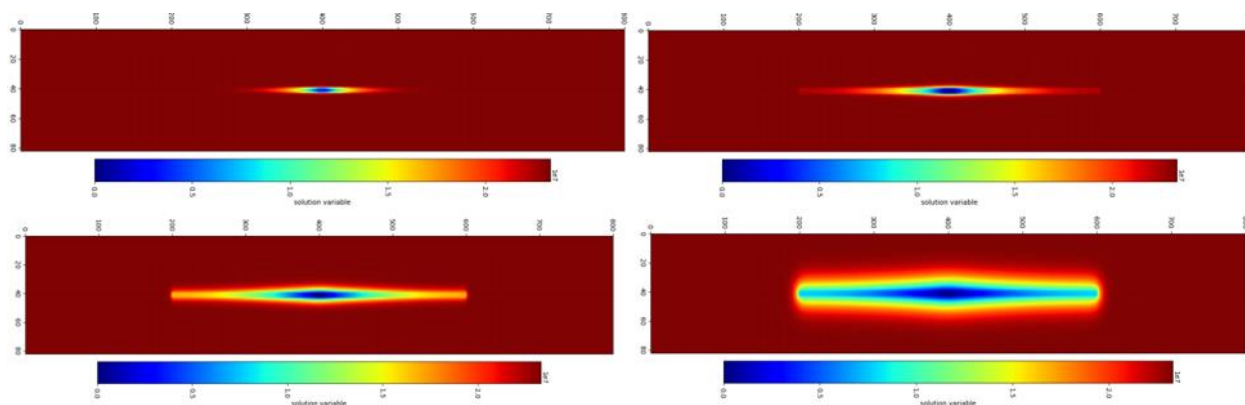
## Сравнение результатов расчетов решателя с коммерческим симулятором tNavigator



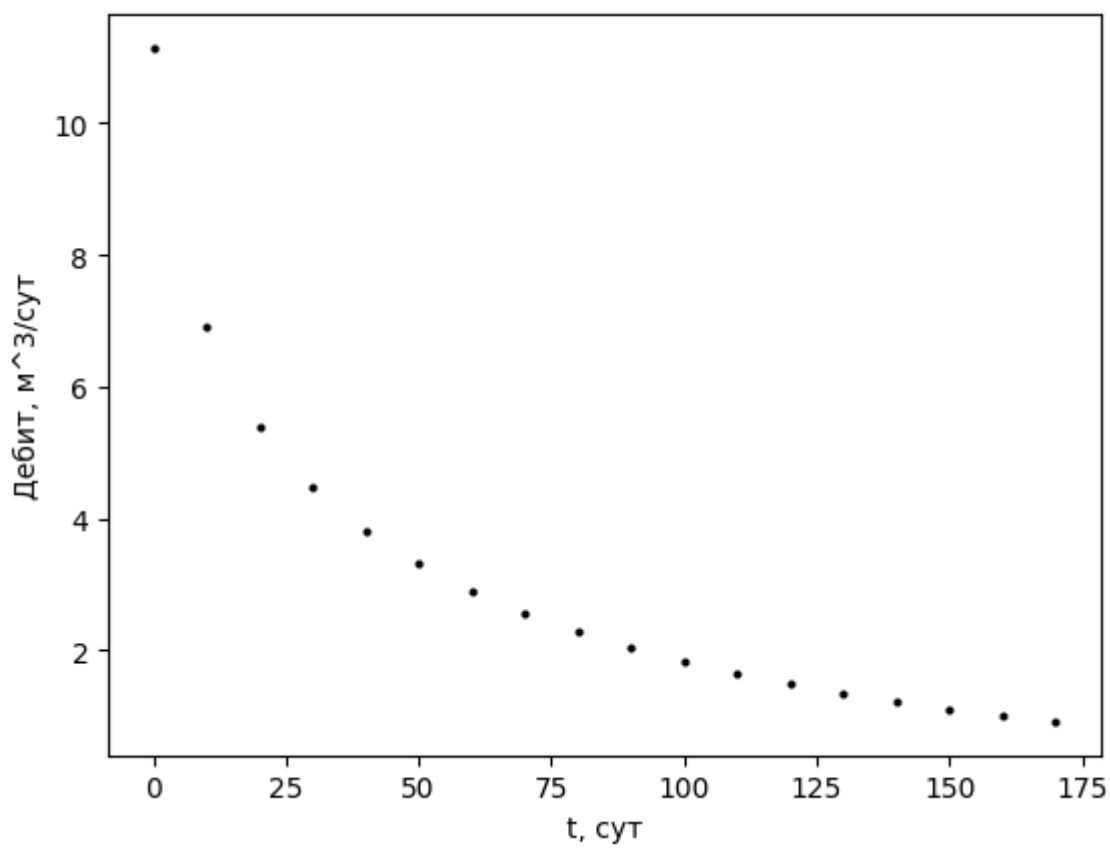


Давления в области максимальных расхождений – это вблизи кончика трещины. Максимальные расхождения на уровне 5%.

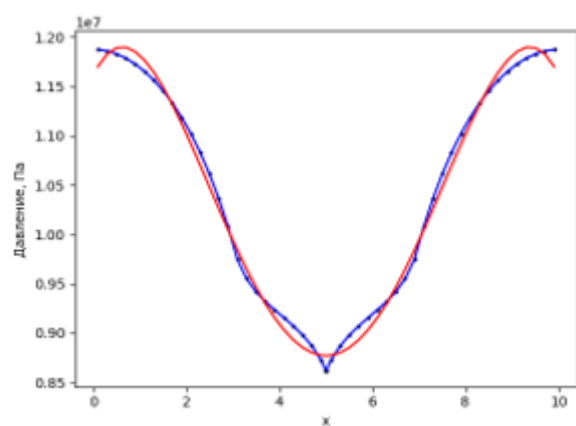
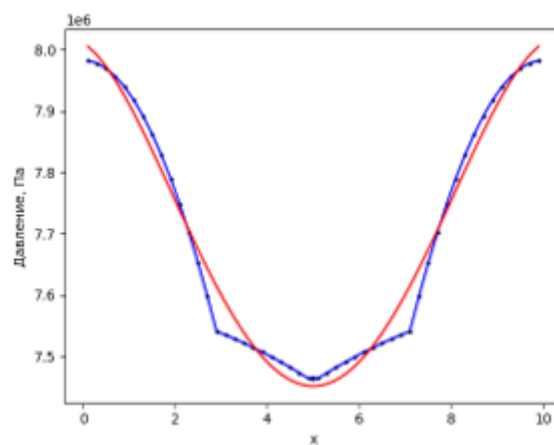
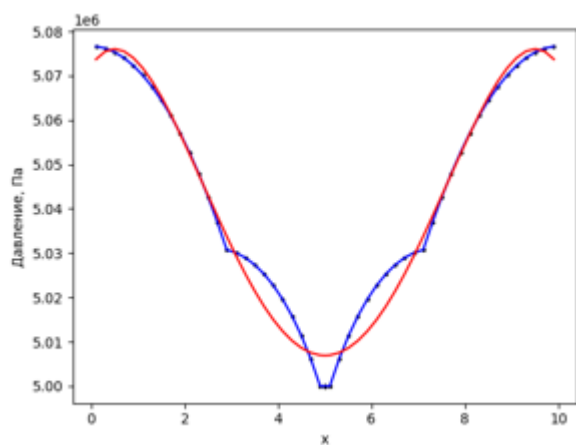
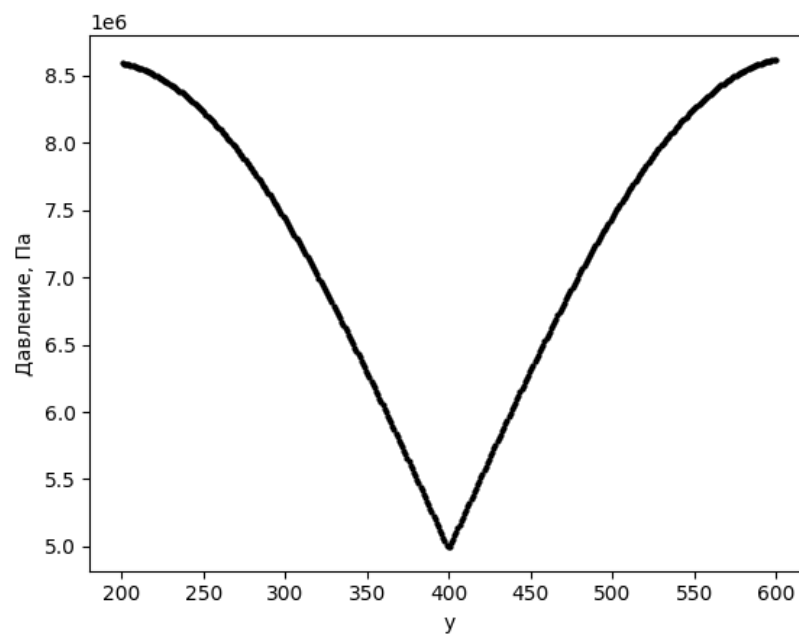
## Пример расчета



Распределения давления в пласте при  $t=1, 5, 25, 180$  дней.







На рисунках выше представлены графики распределения давления при  $u = 400.5$  (слева),  $500.5$  (справа),  $600.5$  (снизу). Реализован полиномиальный аппроксиматор давления, что позволяет упростить внедрение модели в VBA прототип (красный график - аппроксимация).

## **Выводы**

1. Проведен обзор и выбран оптимальный решатель модели (библиотека FiPy) в соответствии с условиями задачи и требуемой скорости расчета, проведено тестирование основных методов решения.
2. Проведена реализация выбранного решателя модели, которая дала качественно и количественно физически адекватный результат.
3. Проведен прогноз поля давления для одной из скважин баженовской свиты. Проведена аппроксимация полей давления для упрощения дальнейшего внедрения результатов расчета в VBA прототип.

## Литература

1. Овсянников Л. В. Групповой анализ дифференциальных уравнений. М.: Наука, 400 с. – 1978.
2. Байков В. А., Газизов Р. К., Ибрагимов Н. Х. Приближенные преобразования эквивалентности. //Дифференциальные уравнения. – 1994. – Т. 30. – No. 10. – С. 1659-1664.
3. Баренблатт Г.И., Ентов В.М., Рыжик В.М. Теория нестационарной фильтрации жидкости и газа. – М.: Недра, 1972. – 288 с.
4. Бахвалов Н.С., Жидков Н.П., Кобельков Г.М. Численные методы. – М.: Бином. Лаб. знаний, 2008. – 636 с.
5. Каневская Р. Д. Математическое моделирование гидродинамических процессов разработки месторождений углеводородов. – 2003.
6. Самарский А. А., Гулин А. В. Численные методы математической физики //М.: Научный мир. – 2003. – Т. 161.
7. Полянин А. Д., Зайцев В. Ф. Справочник // Линейные уравнения математической физики, М., ФИЗМАТЛИТ. – 2001.